

## • 实验研究 •

# 微孔淀粉复合介孔硅酸钙材料止血性能的研究

何青青<sup>1</sup> 赵龙姝<sup>1</sup> 戴号<sup>1</sup> 何建<sup>2</sup>

[摘要] 目的:探讨微孔淀粉复合介孔硅酸钙材料(PHS/m-CS)的止血性能与生物安全性。方法:采用溶胶-凝胶法合成介孔硅酸钙 m-CS,生物酶解法制备微孔玉米淀粉 PHS,并将两者复合制备 PHS/m-CS 止血材料。根据部分凝血活酶时间(APTT)和凝血酶原时间(PT)指标考察 PHS/m-CS 的体外止血性能;通过将 PHS/m-CS 与 MC3T3-L1 细胞体外共培养,研究 PHS/m-CS 的体外生物安全性;通过体内动物实验,探讨 PHS/m-CS 对肝脏与脾脏的止血效果。结果:m-CS 呈短棒状,内部具有高度有序的介孔孔道;制备的 PHS 颗粒尺寸均匀,并且内部具有疏松多孔的结构。相比于单纯 PHS,PHS/m-CS 复合材料具有更高的吸水率与体外凝血功能。生物安全性测试表明材料对细胞无毒性。体内肝脏与脾脏止血实验表明,PHS/m-CS 可缩短凝血时间。结论:PHS/m-CS 复合止血材料具有良好的止血性能与生物安全性,对临床急诊止血材料具有指导意义。

[关键词] 介孔硅酸钙;微孔玉米淀粉;复合止血;生物安全性

doi:10.13201/j.issn.1009-5918.2016.11.012

[中图分类号] R318 [文献标志码] A

## Study on haemostatic properties of novel microporous starch/mesoporous calcium silicate composite

HE Qingqing<sup>1</sup> ZHAO Longshu<sup>1</sup> DAI Hao<sup>1</sup> HE Jian<sup>2</sup>

(<sup>1</sup>Intensive Care Unit, Guanghua Hospital, Shanghai 200052, China; <sup>2</sup>General Medicine, Oriental Liver and Gallbladder Surgery hospital, Second Military Medical University)

Corresponding author: HE Jian, E-mail: hejiansmmu@126.com

**Abstract Objective:** To investigate the haemostatic property and biosafety of PHS/m-CS composites. **Method:** The mesoporous calcium silicate (m-CS) was synthesized via Sol-Gel method as well as microporous corn starch (PHS) was prepared by biological enzymolysis way. What's more, the PHS/m-CS composite was fabricated via mechanical blending method. The APTT and PT assay were used to analyze the in vitro thrombogenic property, and in vitro biosafety of PHS/m-CS was evaluated by co-cultivation with MC3T3-L1 cells. The in vivo hemostatic properties to liver and spleen were also investigated. **Result:** The high ordered mesopores could be detected inside of the as-prepared rod-like m-CS, and the PHS with homogeneous particle size had loose interconnected pores. And PHS/m-CS had higher water absorption and better in vitro thrombogenic property comparing with bare PHS. The in vitro biosafety evaluation results revealed that PHS/m-CS had excellent cytocompatibility. Moreover, the in vivo homeostasis tests of liver and spleen showed that PHS/m-CS could shorten the clotting time. **Conclusion:** The whole study showed that the as prepared PHS/m-CS composite possessed excellent haemostatic performance and biosafety, which has potential for being adopted as clinical emergency haemostatic materials.

**Key words** mesoporous calcium silicate; microporous corn starch; hemostasis; biosafety

在急诊急救治疗与外科手术过程中,会形成出血创面,如不能快速止血,会影响患者的健康甚至危及生命。近年来,止血材料以其特有的功效,在止血过程中发挥了很大的作用,大大降低了伤亡<sup>[1-3]</sup>。因此,对更加快速有效的止血材料的研究引起了医学界的高度重视。

微孔淀粉(PHS)是淀粉经过酶解处理过后的新型变性淀粉,PHS 具有内部中空的多孔结构,比表面积大大增加,具有很强的吸附作用。在用于止

血时,PHS 可有效吸附血液中的大量水分,促使血小板凝结,从而达到止血的目的<sup>[4-5]</sup>。介孔材料是孔径介于 2~50 nm 的多孔材料,因其特有的介孔结构,具有很高的比表面积、高孔容与吸附性,在止血材料中具有良好的应用前景<sup>[6-7]</sup>。另外,在凝血过程中,Ca 离子是一种凝血因子,可以有效催化血液中纤维蛋白原变成纤维蛋白,形成凝血块<sup>[8-9]</sup>。因此,本研究计划利用生物方法制备 PHS,并利用溶胶-凝胶法合成介孔硅酸钙(m-CS)。通过将 PHS 与 m-CS 复合,制备新型 PHS/m-CS 复合止血材料,并对复合材料的体外、体内止血性能及生物安全性进行研究。

<sup>1</sup> 上海市长宁区光华中西医结合医院重症监护室 ICU(上海,200052)

<sup>2</sup> 第二军医大学附属东方肝胆外科医院综合内科  
通信作者:何建,E-mail:hejiansmmu@126.com

## 1 材料与方法

### 1.1 m-CS的合成与表征

采用溶胶-凝胶法合成介孔硅酸钙。以聚氧乙烯-聚氧丙烯-聚氧乙烯(P123)为模板剂,将4 g的P123溶于120 ml的2 mol/L盐酸和30 ml去离子水中,搅拌至溶液澄清。随后加入9.76 g四水硝酸钙和8.61 g的正硅酸乙酯,在50℃继续搅拌24 h。随后停止搅拌,静置48 h以获得白色沉淀。然后过滤掉上层液体,并用去离子水与无水乙醇分别清洗白色沉淀3次,然后置于80℃烘箱内干燥,得到白色固体。最后将白色固体放入马弗炉内,于550℃下煅烧6 h,得到最终白色粉末产物。

将粉末喷金,SEM观察样品形貌,电子能谱EDS分析粉末所含元素。透射电子显微镜TEM观察粉末微观介孔形貌。利用全自动物理吸附仪测定粉末等温吸附脱附曲线,通过Brnauer-Emmett-Teller(BET)法计算样品的比表面积,并根据Barrett-Joyner-Helen(BJH)公式计算平均孔径及孔径分布。

### 1.2 PHS的制备与表征

采用生物酶解法制备微孔淀粉。将100 g玉米淀粉与30 ml pH为5.8的磷酸盐缓冲液(PBS)混合,均匀搅拌1 h。随后按照体积比为1:4的比例,依次加入葡萄糖淀粉酶(0.05% V/V)与淀粉酶(0.05% V/V)溶液,并置于50℃环境下充分搅拌12 h。然后加入0.1 mol/L的NaOH溶液终止酶解反应,得到浆液状产物。收集产物,在离心机内离心分离5 min,并用去离子水清洗3次,最后真空干燥,得到最终产物。将产物PHS研磨成粉末,在真空条件下喷金,用扫描电子显微镜SEM观察PHS外观形貌。

### 1.3 PHS/m-CS的制备

将PHS和m-CS按照质量比为5:1的比例配料,放入行星球磨机内球磨2 h,得到最终PHS/m-CS复合材料。以不添加m-CS的单纯PHS作为实验对照组。

### 1.4 PHS/m-CS吸水率与体外凝血性能

称取一定量的复合粉末W<sub>0</sub>,倒入搁有滤纸的漏斗内。利用滴管向粉末上不断去离子水。当漏斗低端有液体落下时,停止滴加。然后称取此时粉末的质量W<sub>1</sub>。根据以下公式计算粉末的吸水率:

$$\text{吸水率}(\%) = (W_1 - W_0)/W_0 \times 100\%$$

根据部分凝血活酶时间(APTT)和凝血酶原时间(PT)两个凝血指标来考察PHS/m-CS的体外凝血性能。

从成年雄性新西兰大白兔提取新鲜血液,然后加入3.8%(V/V)柠檬酸钠(柠檬酸钠与血液体积比1:9),防止血液凝固。随后在37℃,3 500 rpm条件下,将血液离心10 min,得到贫血小板血浆

(PPP)。按照比例(PHS/m-CS粉末:PPP:APTT试剂=0.2 g:0.1 ml:0.1 ml)混合,随后置于37℃水浴锅内培养,随后加入0.1 ml CaCl<sub>2</sub>溶液(0.025 mol/L),并观察直至出现纤维蛋白丝的时间。PT测试与APTT测试方法类似,按照比例(PHS/m-CS粉末:PPP:PT试剂=0.2 g:0.1 ml:0.1 ml)混合,然后记录血液凝固时间。对照组PHS的APTT与PT指标测试方法与PHS/m-CS相同。

### 1.5 PHS/m-CS体外生物安全性

细胞毒性:采用CCK-8法,通过将PHS/m-CS粉末与MC3T3-L1细胞共培养,考察PHS/m-CS粉末的细胞毒性,评估材料的生物安全性。首先将MC3T3-L1细胞培养在DMEM培养液中,在37℃,5% CO<sub>2</sub>细胞培养箱中培养一段时间。然后用胰蛋白酶将MC3T3-L1消化下来,离心清洗后,将细胞接种到放有材料的24孔板内,培养1、3、7 d,每2天更换1次培养液。当到设定培养时间时,移出培养基,用PBS清洗3遍后,加入新鲜培养基,并加入50 μl CCK-8试剂,放回培养箱中继续培养4 h,最后从培养液中吸取100 μl液体到96孔板内,利用酶标仪在490 nm波长位置下,测定对应的光密度值(OD)。

细胞粘附:按照之前所述细胞培养的方式,将MC3T3-L1细胞与材料共培养7 d,然后移出培养基,加入5%的戊二醛溶液,固定2 h。然后吸出固定液,PBS清洗3次,然后用5 μg/ml鬼笔环肽(FITC-Phalloidin)染色35 min,再用PBS 3次后,DAPI染色8 min,染色完成后用PBS清洗3次,通过激光共聚焦显微镜观察细胞骨架形貌。

### 1.6 PHS/m-CS体内止血性能

利用新西兰大白兔评价复合粉末对体内肝脏与脾脏的止血性能。

兔肝脏止血模型:取健康雄性新西兰大白兔,注射4%戊巴比妥钠溶液麻醉,然后手术打开兔下腹部,暴露肝脏,用手术刀在肝脏表面制造出尺寸为2 cm×2 cm的十字形切口,随即称取好的5 g PHS/m-CS粉末均匀撒在伤口上,并用消毒纱布轻轻按压。每5 s观察出血情况,直至出血停止,并记录整个止血时间,利用同样的方法测试对照样品PHS的止血时间。

兔脾脏止血模型:利用相同的方法麻醉兔,然后暴露脾脏,并在脾脏表面制造出十字切口,随即称取好的5 g PHS/m-CS粉末均匀撒在伤口上,并用消毒纱布轻轻按压。每5 s观察出血情况,直至出血停止,并记录整个止血时间,利用同样的方法测试对照样品PHS的止血时间。在血液凝固后,收集创口表面的粉末并干燥,随后粉末喷金,SEM下观察样品与血液的形貌。

### 1.7 统计学处理

应用 SPSS 统计软件进行处理。以 *t* 检验进行差异性分析。

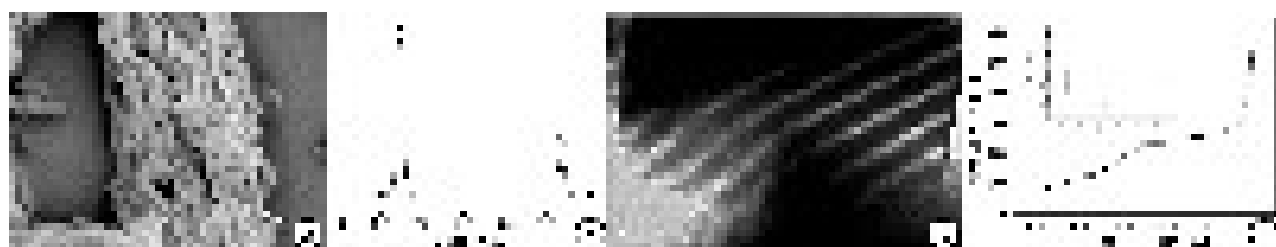
## 2 结果

### 2.1 m-CS 形貌与结构

SEM 图像显示所合成的 m-CS 具有短棒状的结构, 尺寸较为均匀。部分颗粒存在团聚现象(图 1a); EDS 结果表明粉末存在 Ca、Si 离子, 符合硅酸钙的元素组成(图 1b); TEM 图像显示材料具有明

显的介孔孔道结构, 并且孔道排布均匀(图 1c); 样品吸附脱附等温线为典型的 H1 型回滞环的 IV 型等温回线, 表明样品介孔孔径高度均匀, 孔径分布独立。同时介孔孔径在 4 nm 左右(图 1d)。

BET 结果显示, 所合成的 m-CS 的比表面积为  $395.3 \text{ m}^2/\text{g}$ , 孔容为  $1.47 \text{ cm}^3/\text{g}$ , 平均孔径为 4.5 nm, 具有很高的比表面积与孔容, 可大大提高 m-CS 的吸附能力。



a:SEM 形貌图;b:EDS 元素谱图;c:介孔孔道 TEM 微观形貌;d:N2 吸附-脱附等温线与孔径分布。

图 1 m-CS 形貌与结构

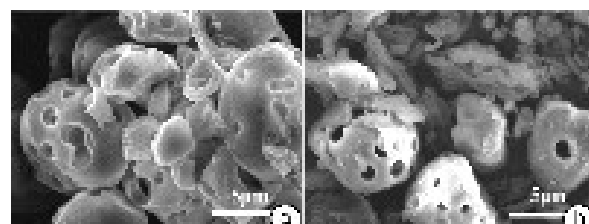
### 2.2 PHS 与 PHS/m-CS 形貌

从图 2 中可见, 通过酶解法制备的 PHS, 颗粒尺寸约为  $8 \mu\text{m}$ , 具有从表面到内部贯通的多孔结构, 孔径约为  $1 \mu\text{m}$ , 并且孔径大小基本相同。部分破裂的 PHS 颗粒显示出内壁为多层次状结构, 并且内部贯通(图 2a); 图 2b 表明复合粉末中 PHS 与 m-CS 颗粒为物理机械混合, 混合较为均匀, 而且复合制备过程中没有损坏两种成分的结构, 从而保证了材料的性能。

### 2.3 PHS/m-CS 吸水率与体外凝血性能

止血材料的吸水性能, 很大程度上关系着止血性能的好坏。如图 3a 所示, 单纯 PHS 的吸水率在 120%, 表现出较强的吸水性能, PHS/m-CS 复合样品的吸水率为 160%, 相比单纯 PHS 要高得多。PHS 因其内部多孔的结构, 亲水性也好, 因此可以吸收大量的水分。m-CS 内部具有介孔结构、高孔容, 能够提高更多的孔体积吸收水分, 因此吸水率也得到了提高。

图 3b 与图 3c 表示了两种材料对 APTT 与 PT 两种指标的影响。随着 m-CS 含量的加入, 部分凝血活酶时间和凝血酶原时间随之降低, 凝血性能得到了提升。表明 m-CS 对凝血过程具有明显的促进作用。

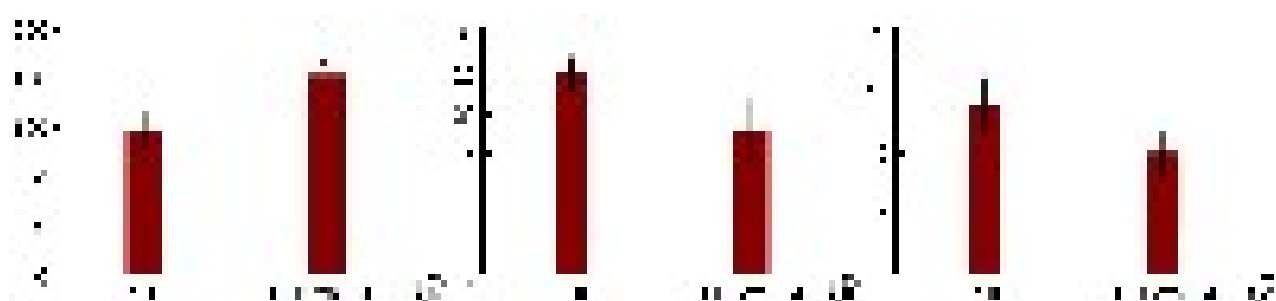


a:PHS 颗粒;b:PHS/m-CS 复合样品 SEM 形貌图像。

图 2 PHS 与 PHS/m-CS 的 SEM 形貌图

### 2.4 PHS/m-CS 的体外生物安全性

利用 CCK-8 法评价止血材料对细胞的毒性。



a:吸水率比较;b:APTT 时间比较;c:PT 时间比较。

图 3 PHS 与 PHS/m-CS 比较

由图 4 可见, 两种材料均具有一定的细胞相容性, 在与细胞共培养时, 可以有效促进细胞的增殖。同时复合材料对细胞的促进效果要明显高于单纯 PHS。结果表明, m-CS 的加入, 可提高材料的细胞相容性。

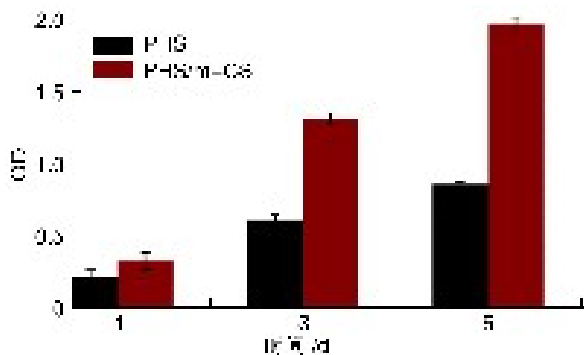


图 4 两种材料对 MC3T3-L1 细胞的细胞毒性检测情况

图 5 表示细胞与材料共培养 7 d 后, 细胞的形貌图, 其中蓝色荧光表示细胞核, 绿色荧光表示细胞骨架。从图中可以观察到 MC3T3-L1 细胞与 PHS 以及 PHS/m-CS 材料共培养后, 细胞铺展良好, 细胞形态正常, 具有良好的丝状应力纤维。实验组与对照组上的细胞形态均表现良好, 其中 PHS/m-CS 组细胞数量较 PHS 要多, 表明两种材料对细胞均没有抑制作用, 并且随着 m-CS 的加入, 可提高材料的细胞相容性。

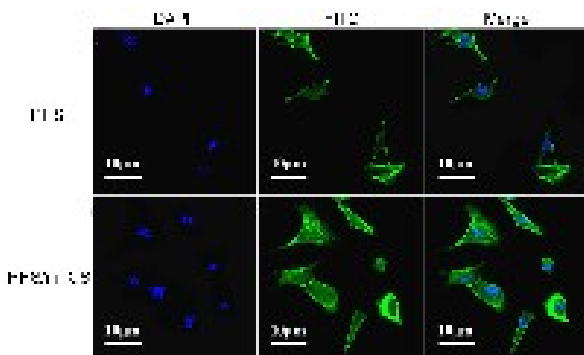
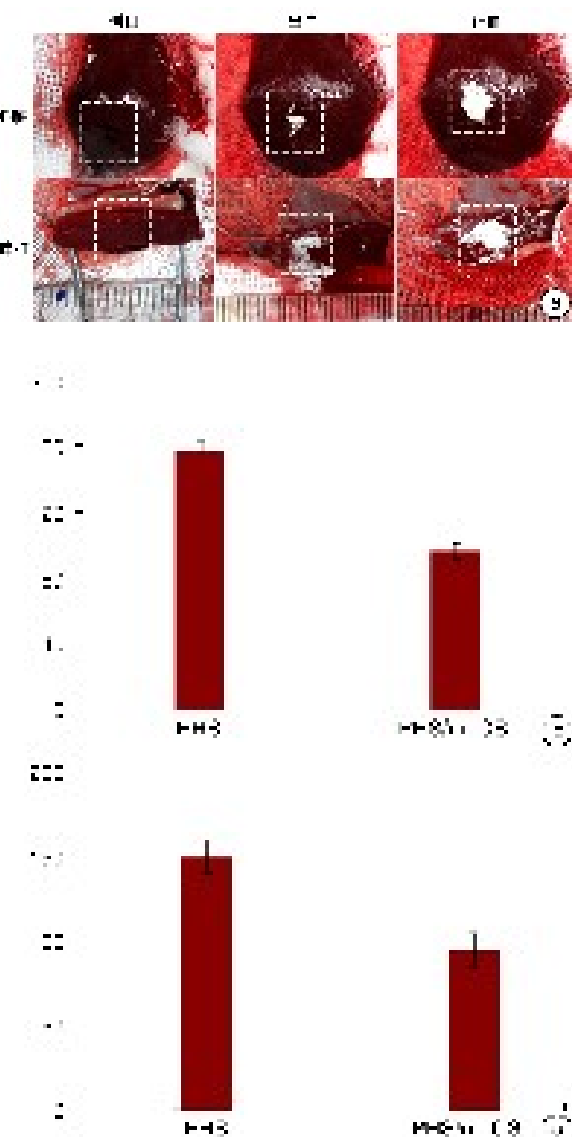


图 5 MC3T3-L1 细胞与材料共培养后, 细胞的铺展形貌激光共聚焦图像

## 2.5 PHS/m-CS 的体内止血性能

图 6 为复合样品对兔体内肝脏与脾脏止血性能的评估。手术与材料止血过程如图 6a 所示。图 6b 为样品在肝脏上的止血时间, 可以看到, 相比于单纯 PHS, PHS/m-CS 材料的凝血时间更少, 表明可有效促进体内脏器出血创面的止血; 另外, PHS/m-CS 对脾脏器官的止血效果与肝脏呈现相同趋势 (图 6c)。体内止血实验结果表明, PHS/m-CS 在用

于体内止血时, 可以减少出血时间, 加快凝血, 具有优良的止血性能。



a: 手术过程(白色虚线框内为创面部位); b: 肝脏止血时间;  
c: 脾脏止血时间。

图 6 PHS/m-CS 体内止血性能的评价

## 3 讨论

目前市场上广泛应用的 Arista 止血粉的材料来源于马铃薯淀粉微球, 临床应用中也显示了很好的安全性及较好的止血效果。系统研究显示 Arista 淀粉微球表面具有裂隙结构, 因此表面积加大, 提高了其吸水性能, 并且原料来源天然无毒, 减少了毒副作用<sup>[10-12]</sup>。

本研究以玉米淀粉为原料, 然后采用生物酶解的方法, 在玉米淀粉上引入多孔结构, 大大增加了微孔淀粉的孔隙率与比表面积, 提高了其吸附性。另外介孔材料因其特有的介孔结构以及高的比表面积、高孔容, 同样具有良好的吸附性能, 可以应用

于止血材料。研究结果表明,复合介孔材料的微孔淀粉,吸附性能大大提高,并且体外止血与体内止血性能都得到了明显的提升,表明介孔材料的孔道结构比微孔淀粉的多孔结构效果要更好,止血性能可以得到进一步的提高。

目前常用的止血材料的止血机理是利用材料较高的吸附性能,当创面出血时,止血材料与血液接触,然后材料吸收血液中大量的水分,从而使创面出血部位血液浓缩,形成凝血块,从而达到止血的目的<sup>[13~17]</sup>。本研究中除了利用材料较大的吸附性能,另外引入了Ca离子。凝血过程中,参与反应的凝血因子共有13个,其中钙离子作为其中之一,在凝血过程中也起到了很大的作用。Ca离子可以催化血液中纤维蛋白原转化为纤维蛋白,众多纤维蛋白可组成血凝块,堵住创面裂口。本研究中,所使用的介孔硅酸钙m-CS,在与血液接触时,可以释放Ca离子,提高了出血创面处的Ca离子浓度,从而可加快凝血过程,缩短凝血时间。研究结果表明,复合PHS/m-CS比单纯PHS,可以缩短APTT与PT时间,并且体内肝脏与脾脏止血时间也大大缩短,具有很高的止血效率。

本研究结果表明,复合有介孔硅酸钙的微孔淀粉,具有很好的止血性能与止血效率,另外本研究中的止血材料为粉状,适用于各种不规则出血创面的止血修复,操作简单,通过将粉状物均匀的铺撒在创口,经过短时间的按压即可达到止血的目的。因此,微孔淀粉复合介孔硅酸钙PHS/m-CS止血材料具有很广泛的应用前景。

综上所述,采用溶胶-凝胶法合成了介孔硅酸钙m-CS,利用生物酶解法制备了微孔玉米淀粉PHS,两者复合制备出一种新型止血材料PHS/m-CS。体外吸水率测试表明复合材料具有优良的吸水性,凝血实验结果显示,添加了m-CS之后,可以有效降低部分凝血活酶时间APTT和凝血酶原时间PT的时间,提高了止血效率。另外体外细胞相容性实验结果表明,PHS/m-CS对MC3T3-L1细胞无毒副作用,具有良好的细胞相容性。体内止血实验结果表明,PHS/m-CS可有效止血,并且止血时间比单纯PHS更低。总之,新型PHS/m-CS复合止血材料具有很好的体内止血性能,具有广泛的临床应用前景。

## 参考文献

- [1] Kozen B G, Kircher S J, Henao J, et al. An alternative-hemostatic dressing: comparison of CELOX, HemCon, and QuikClot[J]. Acad Emerg Med, 2008, 15(1): 74~81.
- [2] Kheirabadi B S, Acheson E M, Deguzman R, et al. The potential utility of fibrin sealant dressing in repair of vascular injury in swine[J]. J Trauma, 2007, 62(1): 94~103.
- [3] Turner A S, Parker D, Egbert B, et al. Evaluation of a novel hemostatic device in an ovine parenchymal organ bleeding model of normal and impaired hemostasis[J]. J Biomed Mater Res, 2002, 63(1): 37~47.
- [4] Li X, Liu C, Yuan Y, et al. Preparation and hemostatic properties of mesoporous silica-based xerogels[J]. J Inorg Mater, 2008, 23(2): 327~331.
- [5] Sugamori T, Iwase H, Maeda M, et al. Local hemostatic effects of microcrystalline partially deacetylated chitin hydrochloride[J]. J Biomed Mater Res, 2000, 49(2): 225~232.
- [6] Dai C L, Yuan Y, Liu C, et al. Degradable, antibacterial silver-exchanged mesoporous silica spheres for hemorrhage control[J]. Biomaterials, 2009, 30(29): 5364~5375.
- [7] Emily B, Trang P, Denis B, et al. Direct synthesis of mesoporous silica presenting large and tunable pores using BAB triblock copolymers: influence of each copolymer block on the porous structure[J]. Micropor Mesopor Mat, 2007, 112(1~3): 612~620.
- [8] Antisdel J L, West-Denning J L, Sindwani R, et al. Effect of microporous polysaccharide hemospheres (MPH) on bleeding after endoscopic sinus surgery: randomized controlled study [J]. Otolaryngol Head Neck Surg, 2009, 141(3): 353~357.
- [9] Che L M, Li D, Wang L J, et al. Effect of high-pressure homogenization on the structure of cassava starch [J]. Int J Food Prop, 2007, 10(4): 911~922.
- [10] Filler G. Value of therapeutic drug monitoring of MMF therapy in pediatric transplantation[J]. Pediatr Transplant, 2006, 10(6): 707~711.
- [11] Murat F J, Le C Q, Eret M H, et al. Evaluation of microporous polysaccharide hemospheres for parenchymal hemostasis during laparoscopic partial nephrectomy in the porcine model[J]. JSLS, 2006, 10(3): 302~306.
- [12] Humphreys M R, Castle E P, Andrews P E, et al. Microporous polysaccharide hemospheres for management of laparoscopic trocar injury to the spleen[J]. Am J Surg, 2008, 195(1): 99~103.
- [13] Alam H B, Burris D, DaCorta J A, et al. Hemorrhage control in the battlefield: role of new hemostatic agents [J]. Mil Med, 2005, 170(1): 63~69.
- [14] Rhee P, Brown C, Martin M, et al. QuikClot use in trauma for hemorrhage control: case series of 103 documented uses [J]. J Trauma, 2008, 64(4): 1093~1099.
- [15] Kauvar D S, Lefering R, Wade C E. Impact of hemorrhage on trauma outcome: an overview of epidemiology, clinical presentations, and therapeutic considerations[J]. J Trauma, 2006, 60(6 Suppl): S3~11.
- [16] Hebert M F, Lam A Y. Diltiazem increases tacrolimus concentrations[J]. Ann Pharmacother, 1999, 33(6): 680~682.
- [17] Wortham L. Hemorrhage control in the battlefield: role of new hemostatic agent[J]. Mil Med, 2005, 170(12): 1004~1007.

(收稿日期:2016-09-20)